

京都大学工学部 学生員 西村和弘
京都大学工学部 正員 寺島泰
京都大学工学部 正員 屋崎博明

1.はじめに 筆者らは、高勾配磁気分離法(hight gradient magnetic separation; HGMS)について下・廢水処理への適用を目的として研究を進めており、基礎・応用面での成果の一部についてはすでに報告を行なっている。ところで基礎的課題のうちでも特に磁性線へ付着する磁性粒子の軌跡についての研究は最も重要な事項であるが、粒子運動に関与する種々の因子のうち、磁気力と同様に重要な流体抵抗力を算出する際に必要な流れ場の表現については、確かな検証もないままボテンシャル流れ似が用いられることが多いため。そこで今回は、ビデオ装置を用いて粒子軌跡等を直接的に観察する方法により追跡し、流れ場の表現を変えた軌道理論から計算される軌跡等との整合性の検討を行ない、流れ場表現の妥当性について考究した。

2.運動方程式の数値計算 孤立磁性線に接近してくる粒子の軌跡は、その粒子に作用する種々のかたより運動方程式をたて、これを適当な初期条件下で解析的・数値解的によくことにより求めることができる。磁性粒子に磁気力 F_m とその競合力である流体抵抗力 F_d 、重力 F_g 、慣性力 F_i が作用する場合、運動方程式は $F_m + F_d + F_g + F_i = 0 \dots (1)$ となる。(1)式を図-1に示す極座標系(ひじゆう)で具体的に表わすと(1)式のようになり、これを解くことにより粒子軌跡と比捕獲半径が求まる。ここで比捕獲半径とは図-2に示すように捕集体上に到達しうる粒子軌跡のうち、捕集体のはるか上流で最大のx座標をとる軌跡について、そのx座標をaで規格化した無次元数(λ_{capture})のことを行なう。

$$\begin{aligned} K \left[-\frac{d^2 r_0}{dt^2} + r_0 \left(\frac{dr}{dt} \right)^2 \right] - \frac{V_0}{r_0} \left(\frac{\dot{r}_0}{r_0} - \frac{\cos \theta}{r_0^2} \right) + \left(\frac{V_{i\theta}}{V_0} - \frac{d\theta}{dt} \right) + N_g \sin \theta = 0 \\ K \left[-r_0 \frac{d\theta}{dt} - 2 \left(\frac{dr}{dt} \right) \left(\frac{d\theta}{dt} \right) \right] - \frac{V_0}{r_0} \frac{\sin \theta}{r_0^2} + \left(\frac{V_{i\theta}}{V_0} - r_0 \frac{d\theta}{dt} \right) + N_g \cos \theta = 0 \quad (2) \end{aligned}$$

= = =
 $K = 2\rho_p V_0 b^3 / 9\eta a$ (慣性パラメータ) $V_0 / r_0 = 2x_0 H_0 M_b^2 / 9\eta a v_0$ (v_0 : 磁気速度)

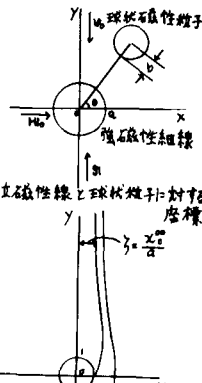


図-1 孤立磁性線と球状磁性粒子に対する
極座標系

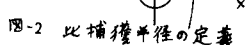


図-2 比捕獲半径の定義

$\lambda_c = M_s \mu_0 H_0$ (巨磁場パラメータ), $N_g = 2b^2(\rho_p - \rho_f)g/9\eta v_0$ (重力パラメータ), $\Gamma = v_0 t/a$ であり式中の記号は a : 細線半径, b : 粒子半径, ρ_p : 粒子密度, ρ_f : 流体密度, η : 流体粘度, v_0 : 流体の表面速度, $V_{i\theta}$: 流体速度の θ 方向成分, H : 印加磁場, M : 細線の磁化, χ : 粒子の比磁化率, μ_0 : 真空の透磁率, g : 重力加速度, t : 時間である。流れ場の近似方法としては、ボテンシャル流れ似、クリーピング流れ似、ナビア・ストークス式を使う方法などがあり、一般的に細線に関するレイノルズ数により表現を変えるとされている。流体抵抗力 F_d の θ 方向成分は、ボテンシャル流れ似のときは、 $F_{d\theta} = 6\pi\eta b \left\{ \left(1 - \frac{a^2}{r_0^2} \right) V_0 \left(-\sin \theta \right) - \frac{dr}{dt} \right\}$, $F_{d\theta} = 6\pi\eta b \left\{ \left(1 + \frac{a^2}{r_0^2} \right) V_0 \cos \theta - r \frac{d\theta}{dt} \right\}$..., (3) クリーピング流れ似のときは、 $F_{d\theta} = 6\pi\eta b \left\{ \left[\ln \left(\frac{r_0}{a} \right) - \frac{1}{2} \left(1 - \frac{a^2}{r_0^2} \right) \right] V_0 C_L \left(-\sin \theta \right) - \frac{dr}{dt} \right\}$, $F_{d\theta} = 6\pi\eta b \left\{ \left[\ln \left(\frac{r_0}{a} \right) + \frac{1}{2} \left(1 - \frac{a^2}{r_0^2} \right) \right] V_0 C_L \left(\cos \theta - r \frac{d\theta}{dt} \right) \right\}$..., (4) である。ナビア・ストークス式を使う方法ではナビア・ストークス式(\bar{F}_x, \bar{F}_y) $\bar{F}_x = -\eta a d\bar{P} + \frac{1}{R} \bar{D}^2 \bar{U} - 5$ と連続の式 $\frac{\partial \bar{U}}{\partial x} + \frac{\partial \bar{V}}{\partial y} + \frac{\partial \bar{W}}{\partial z} = 0$ から圧力項を消去して流れ関数と渦度の式に変換してソルバ法により流速の数値解を求めた。ここで(2)(4)式の上付き $\bar{\cdot}$ は以下のようにして無次元化された無次元変数である。 $\bar{r} = r/b$, $\bar{x} = x/a$, $\bar{v}_f = v_0/a$, $\bar{V}_0 = V_0/v_0$, $\bar{P} = P/\rho_f v_0^2$, $\bar{D} = \frac{1}{R} \bar{D}^2 + \frac{5}{3}$, $\bar{U}^2 = \frac{3}{2} \bar{U}^2 + \frac{1}{2} \bar{D}^2 + \frac{5}{3}$, ここで P は圧力である。なお粒子軌跡の数値計算は4次のルンゲ・クッタ法により行なった。

3.高勾配磁気分離による実験及び考察 (1)実験装置と方法 実験装置を図-3に示す。磁場は流れ方向及び磁性線に対して垂直に印加した。原水は自然流化方式により上向流でセルへ供給した。実験粒子にはピロリン酸マンガン($Mn_2P_2O_7$)を摩碎後沈降法により整粒したものを利用した。粒子の諸元を表-1に示す。実験は次の

2種類行なった。

①粒子軌跡観察実験；前記の実験装置を用いて粒子の軌跡を細線断面方向からTV-CAMERAにより追跡し、ビデオに収録後テレビ画面上における像の収差補正をした上で画面上の軌跡を記録した。

②粒子堆積断面積の経時変化の観察による比捕獲半径の決定；細線への粒子の捕捉を断面積方向から観察すると時間と共に粒子が大量に堆積する。本実験ではこの堆積を観察し、(5)式用いて比捕獲半径の値を求めた。

$$\beta = \frac{\pi \alpha \beta P_p}{2 V_0 C_m} \frac{d}{S_0} \quad (5)$$
 ここで S_0 は堆積粒子の断面積 (m^2)、 S_0 は捕集体断面積 (m^2)、 C_m はフィルタ又はセルへの流入濃度 (PPM) である。 β は占有率、つまり堆積粒子の見かけの占有体積に対する真の占有体積の比のことであり本実験では $\beta = 0.24$ という値を用いた。

③結果及び数値計算との比較 計算及び実験により得られた比捕獲半径の値を表-2に示す。また得られた軌跡の比較を図-4に、計算による粒子捕捉の限界を表わす限界軌跡の比較を図-5に、レイノルズ数と比捕獲半径との関係を図-6(a), (b) に示す。図-4からわかるように実験におけるレイノルズ数において、捕獲半径の小ささは観察による軌跡と計算によるそれとの間には大きな差異がなく、ボテンシャル流近似の軌跡でも十分に表わせるが、図-5からわかるように捕獲半径が大きくまで限界比捕獲半径となると、計算による限界軌跡はかなり異なる。

次に表-2に示すように軌跡観察の実験により実際に見えた比捕獲半径の値は、クリーピング流近似により計算した値や堆積観察の実験により求めた値と比較するとかなり小さくなることがある。また図-6(a), (b) からわかるように比捕獲半径の値は、細線に関するレイノルズ数が大きくなるにつれ、つまり流速が速くなるにつれて双曲線状に小さくなることがわかる。

4. おりに 従来用いられてきたボテンシャル流近似による軌跡は、実験により観察したものと比べて捕獲半径の小さな値での形についてでは比較的近いものの比捕獲半径の値は大いに異なり、無条件に流れ場としてボテンシャル流を用いることは問題が多々ることが判明した。またナビア・ストークス式を用いる方法に関しては今後改善の余地が残されており、さらにまた今後はより精密な粒子軌跡観察方法の確立のため、粒子がよく見えるようにするための整粒方法や照明の最適条件の問題などが課題であるといえる。すお、最後に本研究は科学研究費(試験研究(2))の補助によるものであることを付記しておく。

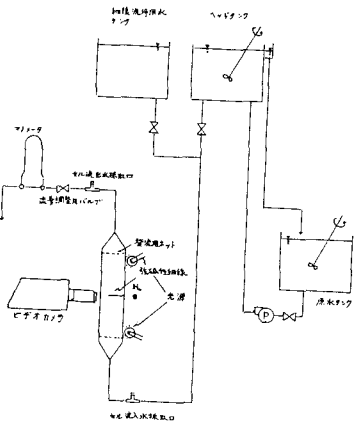


図-3 あり配管充分離の実験装置

表-1 ピロリン酸マンガンの諸元

平均粒径 $2b (\mu m)$	10.40
密度 $P_p (g/cm^3)$	2.65
磁化率 $\chi (emu/cm^3/o_e)$	2.44×10^{-3}

表-2 ピロリン酸マンガンの比捕獲半径

条件	ξ_1	ξ_2	ξ_3	ξ_4	ξ_5
$V_0 = 0.39 \times 10^{-2} (m/s)$					
$R_e = 2.38$	5.58	2.88	5.00	2.60~	3.14
$V_0 = 0.50 \times 10^{-2} (m/s)$					
$R_e = 3.06$	5.10	2.25	4.25	2.40~	2.80
ξ_1 ボテンシャル流近似で計算した値					
ξ_2 クリーピング流近似で計算した値					
ξ_3 ナビア・ストークス式より計算した値					
ξ_4 粒子軌跡観察の実験より求めた値					
ξ_5 粒子堆積断面積の経時変化の観察の実験より求めた値					

図-4 粒子軌跡の比較 図-5 計算による限界軌跡の比較

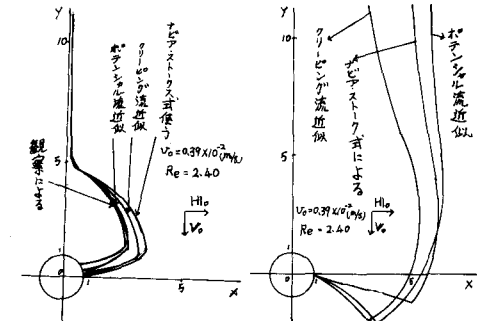


図-4 粒子軌跡の比較 図-5 計算による限界
軌跡の比較

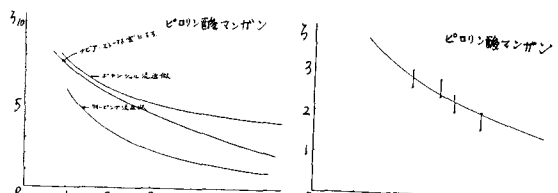


図-6(a) 計算によるレイノルズ数と比捕獲半径の関係

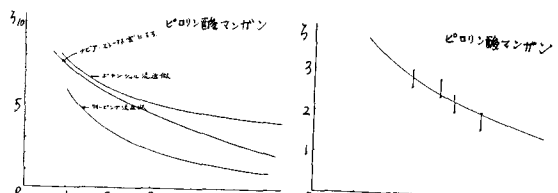


図-6(b) 実験によるレイノルズ数と比捕獲半径の関係